

**Universidade de São Paulo
Instituto de Física**

FÍSICA MODERNA I

AULA 25 - REVISÃO

**Profa. Márcia de Almeida Rizzutto
Pelletron – sala 220
rizzutto@if.usp.br**

1o. Semestre de 2015

Monitor: Gabriel M. de Souza Santos

Página do curso:

<http://disciplinas.stoa.usp.br/course/view.php?id=5215>

19/06/2015

Conteúdo P3

- **Panorama da Física no final do século XIX**
- **Natureza Ondulatória da Radiação eletromagnética**
 - **Radiação Térmica – Hipótese de Planck**
- **Dualidade onda – partícula: Radiação eletromagnética e as propriedades corpusculares**
 - **Efeito fotoelétrico**
 - **Efeito Compton**
 - **Produção e aniquilação de pares**
 - **Difração de raios-X**
- **Dualidade onda – partícula: Matéria e as propriedades corpusculares**
 - **Natureza atômica da matéria**
 - **Modelo de Thomson**
 - **Modelo de Rutherford**
 - **Modelo de Bohr**
 - **Modelo de Sommerfeld –FranckHertz**
- **Dualidade onda – partícula: Matéria e as propriedades ondulatórias**
 - **Postulado de de Broglie**
 - **Difração de elétrons,**
 - **Difração de Bragg**
 - **Princípios de incerteza**
- **Teoria de Schroedinger da Mecânica Quântica**
 - **Equação de Schroedinger – equação de onda para o elétron**
 - **Autofunções e autovalores**
 - **Valores esperados**
 - **Equação de Schroedinger Dependente e independente do tempo**
 - **Potenciais nulo, degrau ,barreira , oscilador harmônico e poço quadrado**
- **Equação de Schroedinger 1,2 3 dimensões**
- **Átomo de Hidrogênio**

BIBLIOGRAFIA

1) Física Quântica, Eisberg e Resnick (ER);

Capítulo 5, 6 e 7

2) Modern Physics for scientists and engineers, T. Thornton e Andrew Rex (TR);

Capítulo 6 e 7

3) Modern Physics de Serway, Moses e Moyer (SMM);

Capítulo 6, 7 e 8

4) Física Moderna, Paul A. Tipler e Ralph A. Liewellyn (TL);

Capítulo 6 e 7 (até 7.3)

5) Notas de aula do Professor Roberto V. Ribas (RR)

Capítulo 6 e 7

6) Física Moderna, Francisco Caruso e Vitor Oguri (FV)

Capítulo 14 (alguns itens)

Revisão

Equação de Schrödinger

Conteúdo básico:

- É consistente com de Broglie-Einstein;
- Consistente com $E = p^2/2m + V$ (portanto não-relativística);
- Linear em Ψ , de tal forma que, se Ψ_1 e Ψ_2 são soluções $\Rightarrow \Rightarrow \Psi = c_1\Psi_1 + c_2\Psi_2$ também é solução (combinação linear). Interferência é possível.

$$-\frac{\hbar^2}{2m} \frac{\partial^2 \Psi(x,t)}{\partial x^2} + V(x,t)\Psi(x,t) = i\hbar \frac{\partial \Psi(x,t)}{\partial t}$$

Revisão

A equação de Schrödinger independente do tempo

$$-\frac{\hbar^2}{2m} \frac{\partial^2 \Psi(x,t)}{\partial x^2} + V(x,t) \Psi(x,t) = i\hbar \frac{\partial \Psi(x,t)}{\partial t}$$

Método da separação de variáveis transforma uma eq. diferencial parcial em um conjunto de eqs. diferenciais ordinárias. Solução deve ser produto de funções: $\Psi(x,t) = \psi(x)\varphi(t)$

Caso o potencial $V(x,t)$ não dependa do tempo, seja apenas $V(x)$:

$$-\frac{\hbar^2}{2m} \frac{d^2 \psi(x)}{dx^2} + V(x)\psi(x) = E\psi(x) \quad \Rightarrow \quad \Psi(x,t) = \psi(x)e^{-\frac{iE}{\hbar}t}$$

Revisão

Valores esperados

Conteúdo básico:

1. Valor médio de uma função de x :

$$\bar{f}(x) = \langle f(x) \rangle = \int_{-\infty}^{+\infty} \psi^*(x) \hat{f}(x) \psi(x) dx$$

2. Desvio padrão de uma variável:

$$\sigma_x = \sqrt{\langle x^2 \rangle - \langle x \rangle^2} = \Delta x$$

3. Momento da partícula: $\hat{p} = -i\hbar \frac{\partial}{\partial x}$

4. Energia: $\hat{E} = i\hbar \frac{\partial}{\partial t}$

Condição de normalização: $\int_{-\infty}^{\infty} |\Psi(x,t)|^2 dx = 1$

Revisão

Propriedades das autofunções

Por representarem propriedades de um sistema físico, as autofunções devem apresentar características que reflitam isso.

Assim:

$\psi(x)$ deve ser finita (1)

$\psi(x)$ deve ser unívoca (2)

$\psi(x)$ deve ser contínua (3)

$d\psi(x)/dx$ deve ser finita (4)

$d\psi(x)/dx$ deve ser unívoca (5)

$d\psi(x)/dx$ deve ser contínua (6)

$P(x)$ finita e unívoca \Rightarrow (1) & (2)

Valores esperados finitos e unívocos \Rightarrow (4) & (5)

(4) \Rightarrow (3)

$V(x)$, E e $\psi(x)$ finitos $\Rightarrow d^2\psi/dx^2$ finita \Rightarrow (6)

Revisão : Partícula livre

O potencial nulo: $V(x) = 0, \forall x$.

Partícula livre, pois $F(x) = -dV(x)/dx = 0$.

$$-\frac{\hbar^2}{2m} \frac{d^2\psi(x)}{dx^2} = E\psi(x); \text{ e } \Psi(x,t) = \psi(x)e^{\frac{iE}{\hbar}t}$$

válido para qualquer valor de $E \geq 0$.

$$\frac{d^2\psi(x)}{dx^2} = -\frac{2mE}{\hbar^2}\psi(x) = -k^2\psi(x)$$

$\psi(x) = Ae^{ikx} + Be^{-ikx}$ deve ser a solução geral

Momento da partícula:

$$\bar{p} = \langle p \rangle = \int_{-\infty}^{+\infty} \psi^*(x) \left(-i\hbar \frac{\partial}{\partial x} \right) \psi(x) dx$$

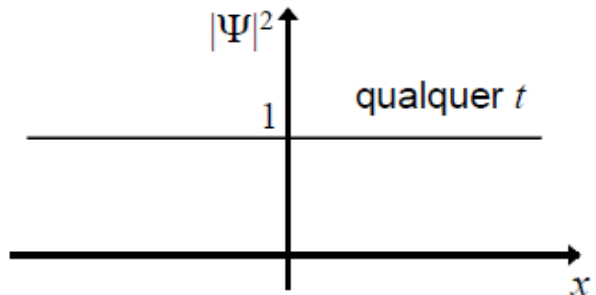
Mas $-i\hbar \frac{\partial \psi(x)}{\partial x} = -i\hbar \frac{\partial}{\partial x} Ae^{i(kx-\omega t)} = -i\hbar ik\psi(x) = \hbar k\psi(x) = +\sqrt{2mE}\psi(x)$

Portanto, $\langle p \rangle = \int_{-\infty}^{+\infty} \psi^*(x) \sqrt{2mE} \psi(x) dx = \sqrt{2mE} \int_{-\infty}^{+\infty} \psi^*(x) \psi(x) dx = \sqrt{2mE}$

No outro caso, $\Psi(x,t) = e^{-i(kx+\omega t)}$, teremos: $\langle p \rangle = -\sqrt{2mE}$

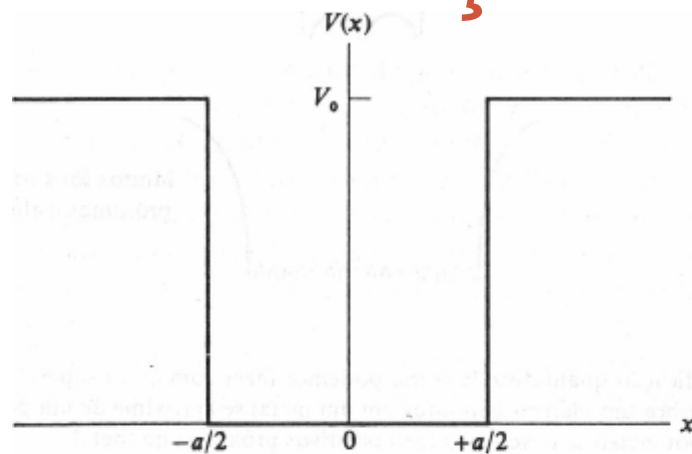
Posição da partícula: $\Psi^*\Psi = A^* e^{-i(kx-\omega t)} Ae^{i(kx-\omega t)} = A^* A$

Nesse caso, $\Delta x = \infty$. Mas $\Delta p = 0$.



Revisão: Poço de Potencial finito

9



Poços de potencial: $E < V_0$

Dentro, $-a/2 < x < a/2$:

$$\psi(x) = Ae^{ik_1x} + Be^{-ik_1x}$$

$$\text{com: } k_1 = \frac{\sqrt{2mE}}{\hbar} = \frac{p_1}{\hbar}$$

Ondas com a mesma amplitude nos 2 sentidos.

$$A = B \Rightarrow \psi(x) = B' \cos k_1x \Rightarrow \Psi(x,t) = \psi(x)e^{-iEt/\hbar}$$

A autofunção terá nós fixos nos pontos onde $\cos k_1x = 0$.

$$A = -B \Rightarrow \psi(x) = A' \sin k_1x \Rightarrow \Psi(x,t) = \psi(x)e^{-iEt/\hbar}$$

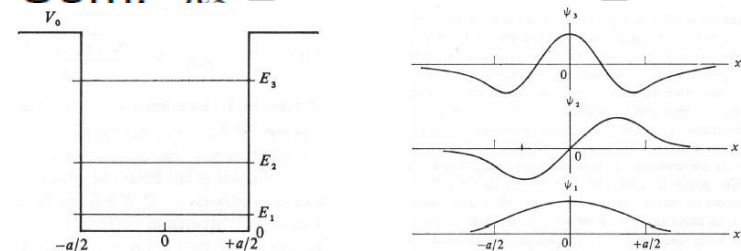
Se ambas são soluções \Rightarrow solução geral será uma combinação

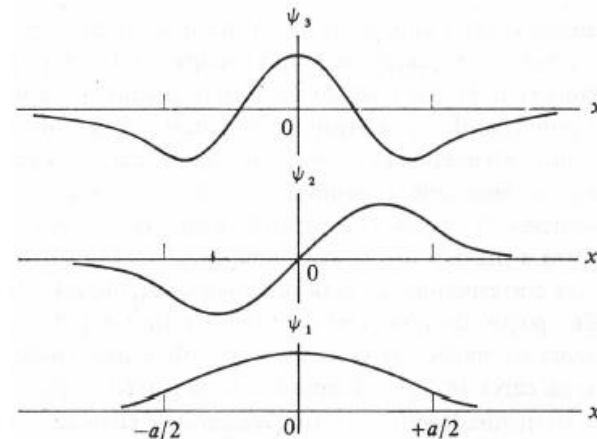
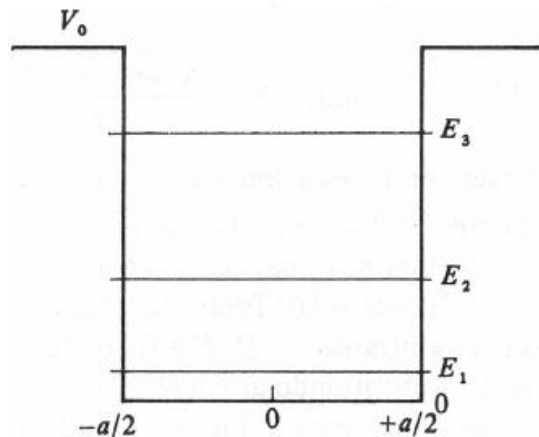
linear: $\psi(x) = A' \sin k_1x + B' \cos k_1x$

Regiões fora do poço:

$$\psi(x) = Ce^{k_2x} + De^{-k_2x} \quad \text{para } x < -a/2. \quad \text{Com: } k_2 = \frac{\sqrt{2m(V_0 - E)}}{\hbar} = \frac{p_2}{\hbar}$$

$$\psi(x) = Fe^{k_2x} + Ge^{-k_2x} \quad \text{para } x > a/2$$





5) Normalização: neste caso, o limite de integração reduz-se ao intervalo $[-a/2, a/2]$, única região em que as funções de onda são não nulas.

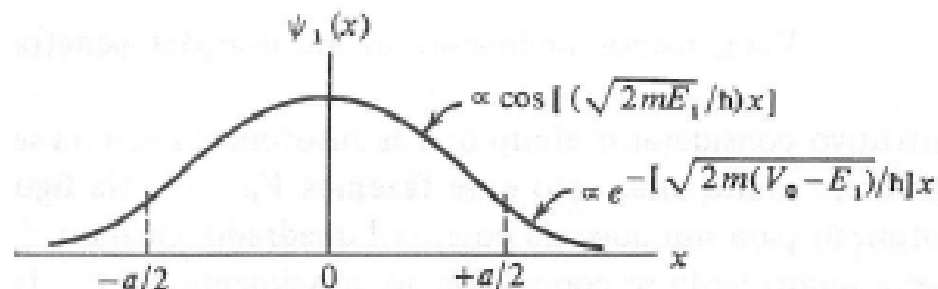
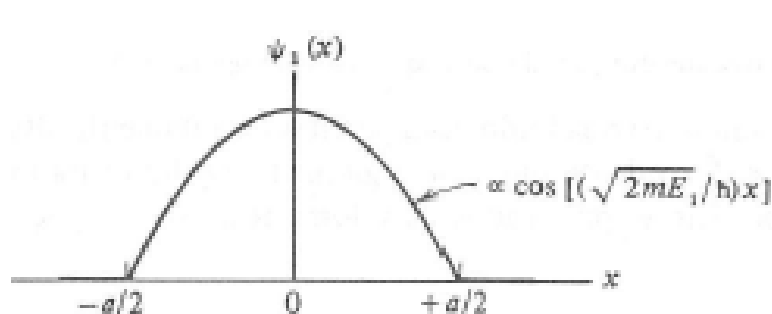
$$\int_{-\infty}^{\infty} |\Psi_n|^2 dx = \int_{-a/2}^{a/2} \frac{2}{a} \cos^2 \frac{n\pi x}{a} dx =$$

$$= \frac{2}{a} \int_{-a/2}^{a/2} \frac{1}{2} \left(1 + \cos \frac{2n\pi x}{a} \right) dx = \frac{1}{a} \left(x + \frac{a}{2n\pi} \sin \frac{2n\pi x}{a} \right) \Big|_{-a/2}^{a/2} = 1$$

Mecânica Quântica – Equação de Schrödinger

“Partícula presa em um poço finito quadrado”

Comparando o primeiro estado do sistema do poço infinito com o poço finito



O fato da função de onda não ser zero nas paredes aumenta o comprimento de onda de de Broglie na parede (em comparação com o poço infinito), e isto torna menor a energia e o momento da partícula. Esta observação pode ser usada para aproximar as energias permitidas para a partícula ligada. A função de onda penetra na região exterior, numa escala de comprimento definido pela profundidade de penetração δ dado por:

$$\delta = \frac{1}{k_1} = \frac{\hbar}{\sqrt{2m(V_0 - E)}}$$

A função de onda no exterior é essencialmente zero além da distância δ , em ambos os lados do poço de potencial

$$E_n \approx \frac{n^2 \pi^2 \hbar^2}{2m(L + 2\delta)^2}$$

Energia da partícula ligada no poço finito

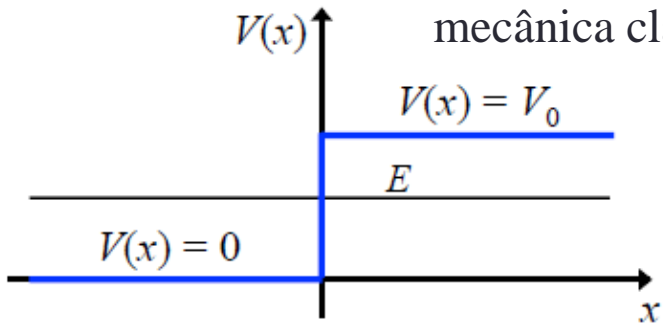
$$R = 1$$

Revisão : Potencial Degrau

O potencial degrau I – $E < V_0$

De pleno acordo com a mecânica clássica para $x < 0$

$$V(x) = \begin{cases} V_0, & \text{se } x > 0 \\ 0, & \text{se } x \leq 0 \end{cases}$$



$$x < 0 : -\frac{\hbar^2}{2m} \frac{d^2\psi}{dx^2} = E\psi ; \quad x > 0 : -\frac{\hbar^2}{2m} \frac{d^2\psi}{dx^2} + V_0\psi = E\psi$$

Região $x \leq 0$: solução para a partícula livre: $\psi(x) = Ae^{ik_1x} + Be^{-ik_1x}$

Penetração da barreira

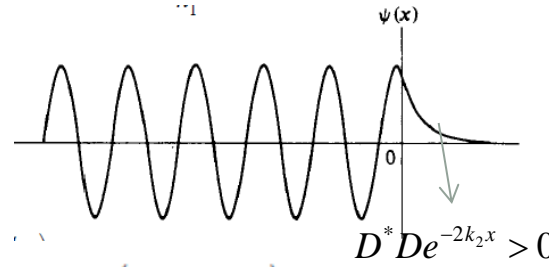
com: $k_1 = \frac{\sqrt{2mE}}{\hbar}$

$$k_2 = \frac{\sqrt{2m(V_0 - E)}}{\hbar}$$

$$\delta \approx \frac{1}{k_2} = \frac{\hbar}{\sqrt{2m(V_0 - E)}}$$

Solução geral, para $x > 0$: $\psi(x) = Ce^{k_2x} + De^{-k_2x}$

Determinar as constantes A, B, C e D , que satisfaçam os requisitos para ψ e $d\psi/dx$: finitas, unívocas e contínuas.



$$x \rightarrow \infty, \psi(x) \rightarrow 0$$

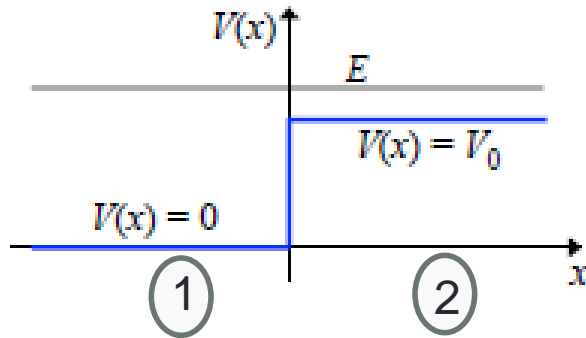
$$\psi(x) \text{ finita } \forall x \Rightarrow C = 0.$$

$$\psi(x) = \begin{cases} \frac{D}{2} \left(1 + \frac{ik_2}{k_1} \right) e^{ik_1x} + \frac{D}{2} \left(1 - \frac{ik_2}{k_1} \right) e^{-ik_1x}, & x \leq 0 \\ D e^{-k_2x}, & x \geq 0 \end{cases}$$

Continuidade no ponto $x = 0$

2) Caso $E > V_0$

“Potencial Degrau”



$$\psi_1(x) = Ae^{ik_1x} + Be^{-ik_1x} \quad \text{Região 1} \quad k_1 = \frac{\sqrt{2mE}}{\hbar}$$

$$\psi_2(x) = Ce^{ik_2x} + De^{-ik_2x} \quad \text{Região 2} \quad k_2 = \frac{\sqrt{2m(E - V_0)}}{\hbar}$$

1) Condição de finitude $x \rightarrow \infty, \psi(x) \rightarrow 0$
 $x > 0$ região 2

D=0 A onda não volta

$$\psi_2(x) = Ce^{ik_2x}$$

2) Condição de continuidade
em $x = 0$

reflexão:

$$R = \left(\frac{k_1 - k_2}{k_1 + k_2} \right)^2$$

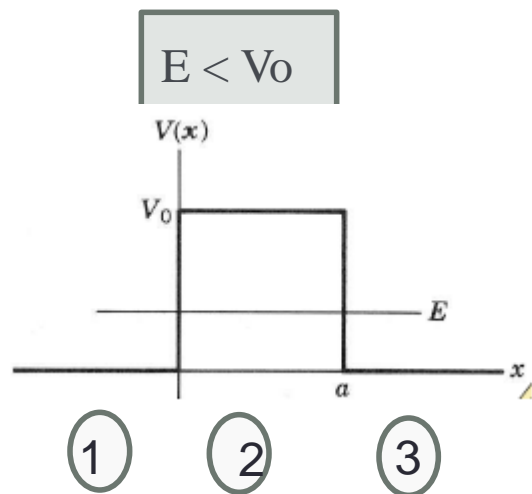
transmissão:

$$T = \frac{k_2}{k_1} \left(\frac{2k_1}{k_1 + k_2} \right)^2$$

$$\psi(x) = \begin{cases} Ae^{ik_1x} + A \left(\frac{k_1 - k_2}{k_1 + k_2} \right) e^{-ik_1x} & \text{Região 1 : } x < 0 \\ A \frac{2k_1}{k_1 + k_2} e^{ik_2x} & \text{Região 2 : } x > 0 \end{cases}$$

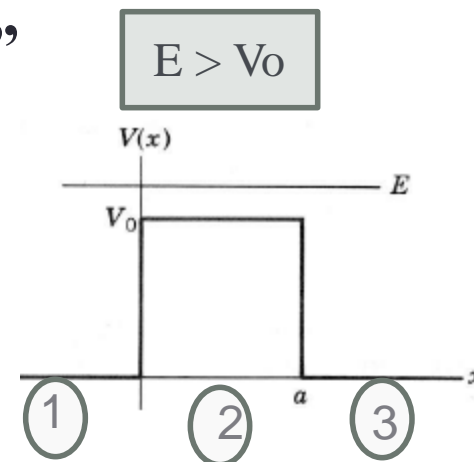
$$R = 1 - T = \left(\frac{1 - \sqrt{1 - \frac{V_0}{E}}}{1 + \sqrt{1 - \frac{V_0}{E}}} \right)^2$$

Mecânica Quântica – Equação de Schrödinger

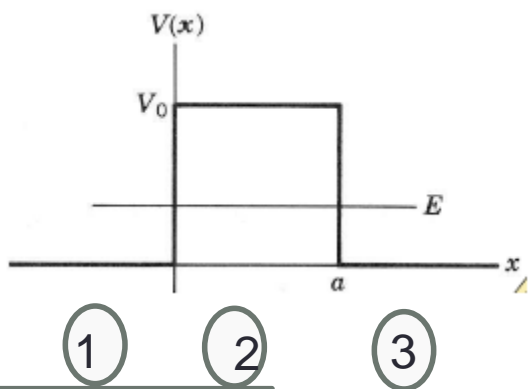


“Barreira de Potencia”

$$V(x) = \begin{cases} V_0 & 0 < x < a \\ 0 & x < 0, x > a \end{cases}$$



1) Caso $E < V_0$



Região 3 $x > a$

$$\psi_3(x) = Fe^{ik_1x} + Ge^{-ik_1x}$$

Região 1 $x < 0$

$$\frac{d^2\psi(x)}{dx^2} = -\frac{2m}{\hbar^2} E\psi(x) \quad k_1 = \frac{\sqrt{2mE}}{\hbar}$$

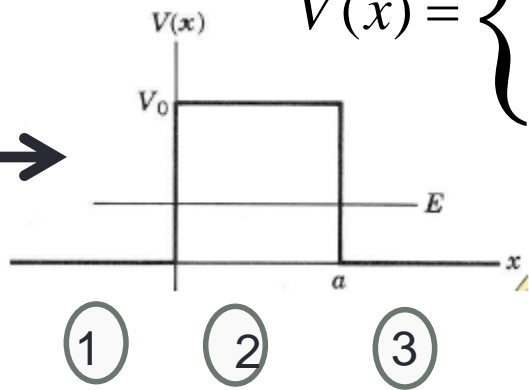
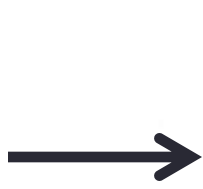
$$\psi_1(x) = Ae^{ik_1x} + Be^{-ik_1x} \quad \text{Solução da partícula livre}$$

Região 2 $0 < x < a$

$$\frac{d^2\psi(x)}{dx^2} = -\frac{2m}{\hbar^2} (E - V_0)\psi(x)$$

$$\psi_2(x) = Ce^{-k_2x} + De^{k_2x} \quad k_2 = \frac{\sqrt{2m(V_0 - E)}}{\hbar}$$

$E < V_0$



$$V(x) = \begin{cases} V_0 & 0 < x < a \\ 0 & x < 0, x > a \end{cases}$$

Região 1 $x < 0$

$$\psi_1(x) = Ae^{ik_1x} + Be^{-ik_1x}$$

Região 2 $0 < x < a$

$$\psi_2(x) = Ce^{-k_2x} + De^{k_2x}$$

Região 3 $x > a$

$$k_1 = \frac{\sqrt{2mE}}{\hbar}$$

$$k_2 = \frac{\sqrt{2m(V_0 - E)}}{\hbar}$$

$$\psi_3(x) = Fe^{ik_1x} + Ge^{-ik_1x}$$

1) Condição de finitude

Se a partícula incide da esquerda

$B=0$

Não tem onda vinda da direita

$G=0$

Mas não podemos fazer $D=0$

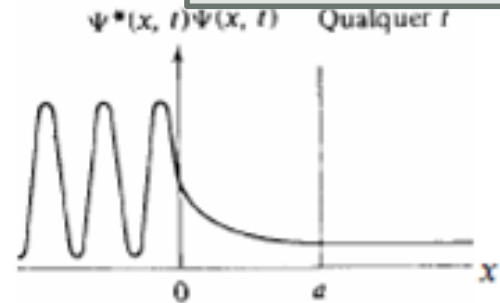
Tunelamento

$$\psi_1(x) = Ae^{ik_1x}$$

$$\psi_3(x) = Fe^{ik_1x}$$

$$R = \frac{B^* B}{A^* A}$$

$$T = \frac{F^* F}{A^* A}$$



Na situação em que $k_2 a \gg 1$

$$T \approx 16 \frac{E}{V_0} \left(1 - \frac{E}{V_0}\right) e^{-2k_2 a}$$

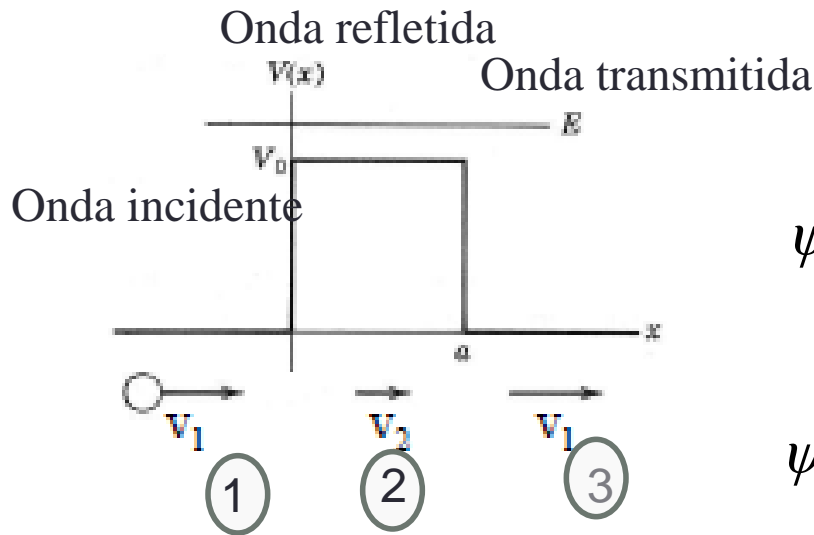
2) Condição de continuidade da função e da derivada para $x=0$

$$R = \frac{B^* B}{A^* A}$$

$$T = \frac{F^* F}{A^* A}$$

$$T = \left[1 + \frac{V_0^2 \sinh^2(k_2 a)}{4E(V_0 - E)} \right]^{-1}$$

2) Caso $E > V_0$



$$\psi_1(x) = Ae^{ik_1x} + Be^{-ik_1x} \quad \text{Região 1}$$

$$\psi_3(x) = Fe^{ik_1x} \quad \text{Região 3}$$

$$\psi_2(x) = Ce^{-ik_2x} + De^{ik_2x} \quad \text{Região 2}$$

$$k_1 = \frac{\sqrt{2mE}}{\hbar}$$

$$k_2 = \frac{\sqrt{2m(E - V_0)}}{\hbar}$$

$$R = \frac{B^* B}{A^* A}$$

$$T = \frac{F^* F}{A^* A}$$

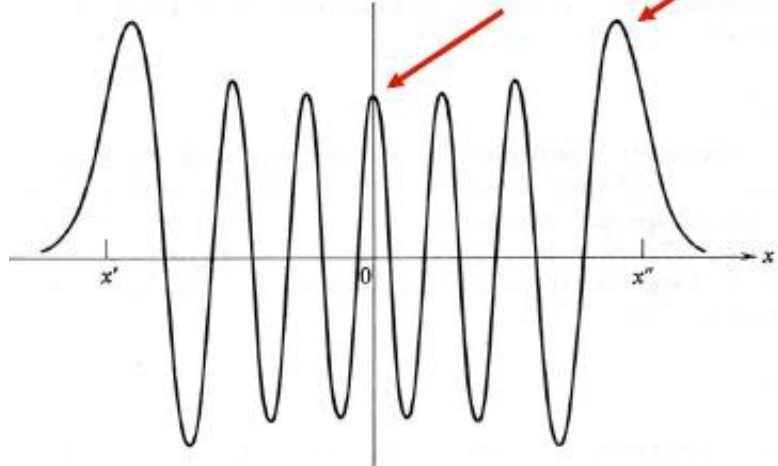
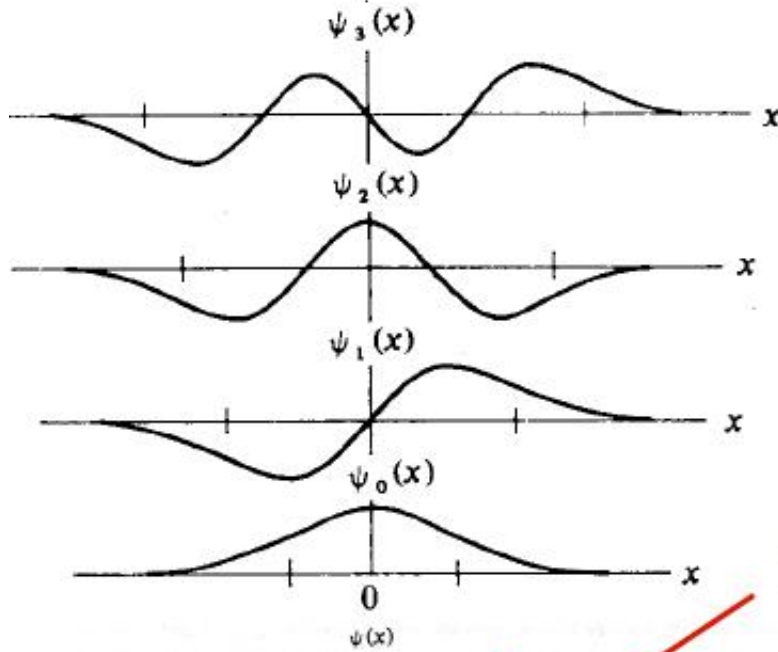
$$T = \left[1 + \frac{V_0^2 \text{sen}^2(k_2 a)}{4E(E - V_0)} \right]^{-1}$$

A probabilidade de transmissão é 1, isto é $T=1$ quando $k_2 a = n\pi$

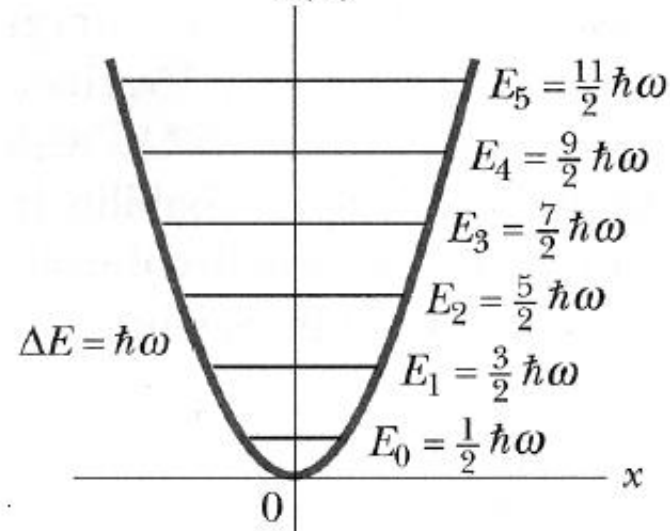
“Partícula sujeita ao potencial dos oscilador harmônico simples”

$$V(x) = \frac{1}{2} Kx^2 = \frac{1}{2} m\omega^2 x$$

Voltando ao oscilador harmônico



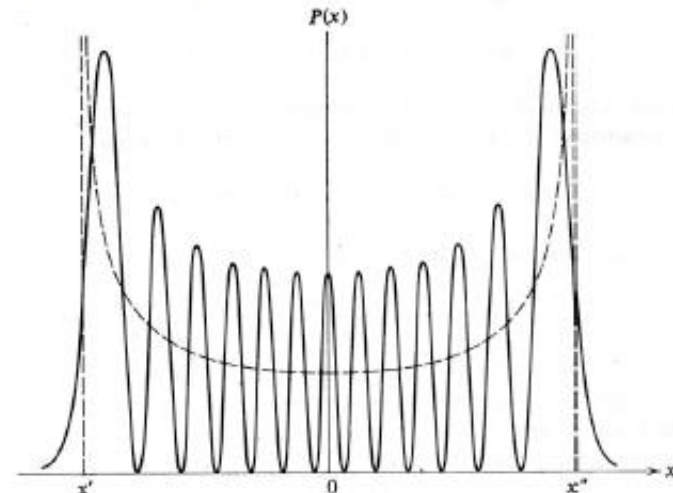
$$-\frac{\hbar^2}{2m} \frac{d^2\psi(x)}{dx^2} + \frac{C}{2} x^2 \psi(x) = E\psi(x)$$



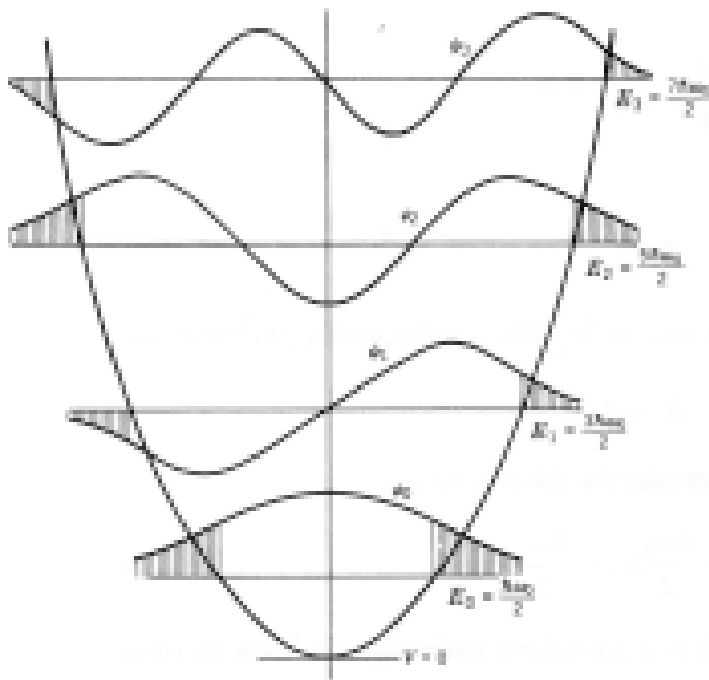
$E \neq 0$

$$\frac{d^2\psi}{dx^2} = \frac{2m}{\hbar^2} [V(x) - E]\psi$$

$$|\psi|^2 \rightarrow$$



Revisão



$$E_n = (n + 1/2)h\nu \quad n=0,1,2,3,\dots$$

Podemos escrever a solução da função de onda como:

$$\psi_n(x) = H_n[u(x)]e^{-\frac{u(x)^2}{2}}$$

$$u(x) = \left[\frac{(Cm)^{1/4}}{\hbar^{1/2}} \right] x$$

Onde H_n são polinômios de ordem n , com $n \geq 0$

As funções H_n são relacionadas aos polinômios de Hermite que são tabelados tabulado

$$H_0[u(x)] = 1$$

$$H_1[u(x)] = 2u(x)$$

$$H_2[u(x)] = 4u(x)^2 - 2$$

$$H_3[u(x)] = 8u(x)^3 - 12u(x)$$

$$\psi_0 = A_0 e^{-\frac{u^2}{2}}$$

$$\psi_2 = A_2 (1 - 2u^2) e^{-\frac{u^2}{2}}$$

$$\psi_1 = A_1 u e^{-\frac{u^2}{2}}$$

$$\psi_3 = A_3 (3u - 2u^3) e^{-\frac{u^2}{2}}$$

Equação de Schrödinger em três dimensões

Até o momento com consideramos apenas uma dimensão (x)

Na realidade para o sistema físico temos 3 dimensões

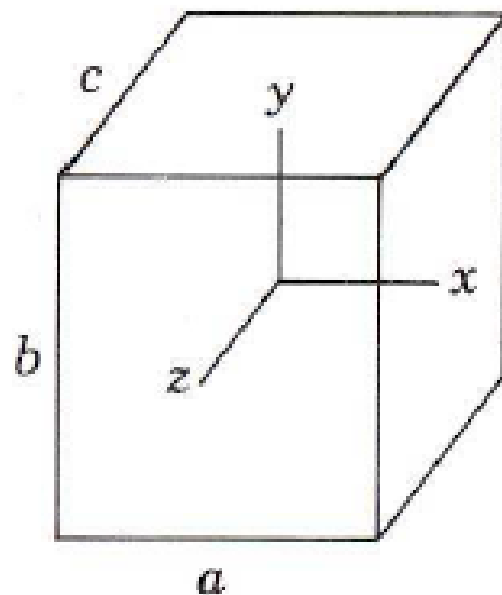
$$-\frac{\hbar^2}{2m}\nabla^2\Psi(\vec{r},t) + V(\vec{r},t)\Psi(\vec{r},t) = i\hbar\frac{\partial\Psi(\vec{r},t)}{\partial t}$$

$$\nabla^2 = \frac{\partial^2}{\partial x^2} + \frac{\partial^2}{\partial y^2} + \frac{\partial^2}{\partial z^2}$$

Podemos fazer separação de variáveis:

$$\Psi(\vec{r},t) = \psi(\vec{r})e^{-iEt/\hbar}$$

Partícula em uma caixa retangular

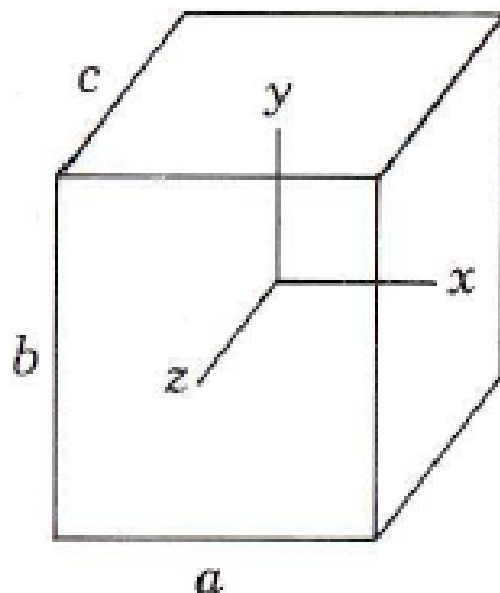


- Vamos considerar uma partícula livre “presa” em uma caixa retangular
- Este problema é equivalente ao poço infinito, porém em três dimensões

$$\psi_n(x) = A \cos\left(\frac{n\pi}{a} x\right), A = \sqrt{\frac{2}{a}} \quad n=1,3,5\dots$$

$$\psi(x) = \sqrt{2/a} \sqrt{2/b} \sqrt{2/c} \cdot \cos\left(\frac{n_1\pi}{a} x\right) \cdot \cos\left(\frac{n_2\pi}{b} y\right) \cdot \cos\left(\frac{n_3\pi}{c} z\right)$$

Partícula em uma caixa retangular



- Vamos considerar uma partícula livre “presa” em uma caixa retangular
- Este problema é equivalente ao poço infinito, porém em três dimensões

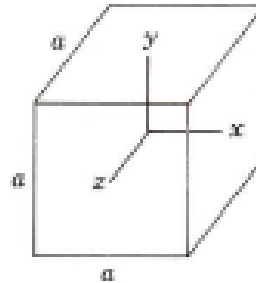
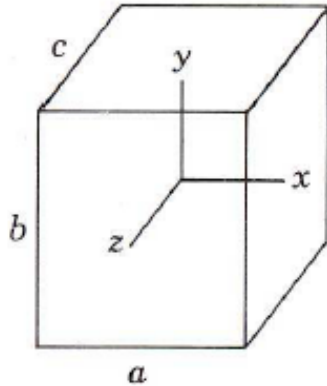
$$\psi_n(x) = A \operatorname{sen}\left(\frac{n\pi}{a}x\right), A = \sqrt{\frac{2}{a}} \quad n=2,4,6\dots$$

$$\psi(x) = \sqrt{2/a} \sqrt{2/b} \sqrt{2/c} \cdot \operatorname{sen}\left(\frac{n_1\pi}{a}x\right) \cdot \operatorname{sen}\left(\frac{n_2\pi}{b}y\right) \cdot \operatorname{sen}\left(\frac{n_3\pi}{c}z\right)$$

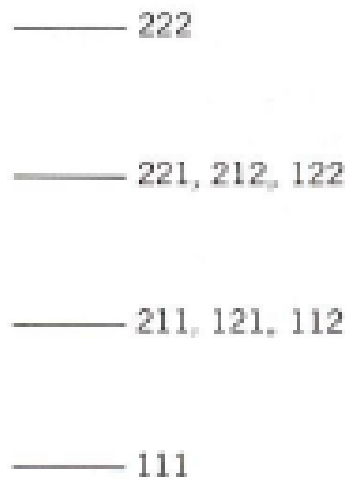
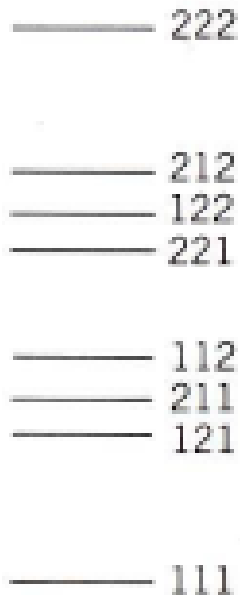
Partícula em uma caixa retangular

Temos a quantização de energia

$$E = \frac{\pi^2 \hbar^2}{2ma^2} n^2 \quad E = E_{n_1} + E_{n_2} + E_{n_3}$$



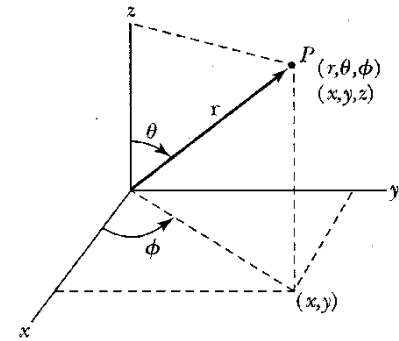
Porém, se os lados do retângulo forem iguais, isto é, existir uma **simetria** no problema, diferentes combinações de números quânticos (n_1, n_2, n_3) podem levar ao mesmo valor de energia



} Degenerescência esta ligada a simetria do problema

A eq. de Schrödinger em coordenadas esféricas

$$\nabla^2 = \frac{1}{r^2} \frac{\partial}{\partial r} \left(r^2 \frac{\partial}{\partial r} \right) + \frac{1}{r^2 \sin \theta} \frac{\partial}{\partial \theta} \left(\sin \theta \frac{\partial}{\partial \theta} \right) + \frac{1}{r^2 \sin^2 \theta} \frac{\partial^2}{\partial \phi^2}$$



Lembre-se que a dependência temporal é parametrizada por um autovalor da energia, E .

$$i\hbar \frac{\partial}{\partial t} \Psi = E\Psi$$

Podemos, então, escrever a eq. de Schrödinger como:

$$-\frac{\hbar^2}{2\mu} \nabla^2 \psi + V(\vec{r})\psi = E\psi$$

$$-\frac{\hbar^2}{2\mu} \left(\frac{1}{r^2} \frac{\partial}{\partial r} \left(r^2 \frac{\partial \psi}{\partial r} \right) + \frac{1}{r^2 \sin \theta} \frac{\partial}{\partial \theta} \left(\sin \theta \frac{\partial \psi}{\partial \theta} \right) + \frac{1}{r^2 \sin^2 \theta} \frac{\partial^2 \psi}{\partial \phi^2} \right) + V\psi = E\psi$$

Separação de variáveis

$$\psi(r, \theta, \phi) = R(r)Y(\theta, \phi)$$

Resumo

A eq. de Schrödinger em coordenadas esféricas

$$-\frac{\hbar^2}{2\mu} \left(\frac{1}{r^2} \frac{\partial}{\partial r} \left(r^2 \frac{\partial \psi}{\partial r} \right) + \frac{1}{r^2 \sin \theta} \frac{\partial}{\partial \theta} \left(\sin \theta \frac{\partial \psi}{\partial \theta} \right) + \frac{1}{r^2 \sin^2 \theta} \frac{\partial^2 \psi}{\partial \phi^2} \right) + V\psi = E\psi$$

Separação de variáveis:

$$\psi(r, \theta, \phi) = R(r)Y(\theta, \phi)$$

$$Y(\theta, \phi) = \Theta(\theta)\Phi(\phi)$$

$$\frac{1}{\Phi} \frac{d^2 \Phi}{d\phi^2} = -m^2 \quad \Phi(\phi) = e^{im\phi}$$

$$|m| = 0, 1, 2, 3, \dots$$

$$Y_{\ell m}(\theta, \phi) = \Theta_{\ell m}(\theta) e^{im\phi}$$

com m inteiro, positivo ou negativo

$$\Theta_{\ell m}(\theta) = \frac{(\sin \theta)^{|m|}}{2^\ell \ell!} \left[\frac{d}{d \cos \theta} \right]^{\ell+|m|} (\cos^2 \theta - 1)^\ell$$

Soluções: Funções de Legendre

$$R_{n\ell} = e^{-\rho/n} \frac{F_{n\ell}(\rho)}{\rho} \quad \text{com } \rho = \frac{r}{a}$$

São as funções denominadas polinômios de Laguerre

$$Y(\theta, \phi) = \Theta_{\ell m}(\theta) \Phi_m(\phi)$$

São chamados de harmônicos esféricos

$$\ell = 0$$

$$m = 0$$

$$Y_{00} = \sqrt{\frac{1}{4\pi}}$$

$$\ell = 1$$

$$m = 1$$

$$Y_{11} = -\sqrt{\frac{3}{8\pi}} \sin \theta e^{i\phi}$$

$$m = 0$$

$$Y_{10} = \sqrt{\frac{3}{4\pi}} \cos \theta$$

$$m = -1$$

$$Y_{1-1} = \sqrt{\frac{3}{8\pi}} \sin \theta e^{-i\phi}$$

$$\ell = 2$$

$$m = 2$$

$$Y_{22} = \sqrt{\frac{15}{32\pi}} \sin^2 \theta e^{2i\phi}$$

$$m = 1$$

$$Y_{21} = -\sqrt{\frac{15}{8\pi}} \sin \theta \cos \theta e^{i\phi}$$

$$m = 0$$

$$Y_{20} = \sqrt{\frac{5}{16\pi}} (3 \cos^2 \theta - 1)$$

$$m = -1$$

$$Y_{2-1} = \sqrt{\frac{15}{8\pi}} \sin \theta \cos \theta e^{-i\phi}$$

$$m = -2$$

$$Y_{2-2} = \sqrt{\frac{15}{32\pi}} \sin^2 \theta e^{-2i\phi}$$

São normalizados de acordo com a relação:

$$1 = \int_{\text{all } \Omega} |Y_{\ell m}(\theta, \phi)|^2 d\Omega$$

com $d\Omega = \sin \theta d\theta d\phi$

$$Y(\theta, \phi) = \Theta_{lm}(\theta) \Phi_m(\phi)$$

São chamados de harmônicos esféricos

momento angular orbital, associada a $R(r)$, $\Theta(\theta)$ e ao módulo de L
 número quântico magnético, associado a componente z do momento angular

1. os autovalores de L^2 são iguais a $\hbar^2 l(l+1)$, sendo l um inteiro não negativo

$$L_{op}^2 \psi(r, \theta, \phi) = \hbar^2 l(l+1) \psi(r, \theta, \phi)$$

2. os autovalores de L_z são iguais a $\hbar m$, sendo m um inteiro tal que $-\ell \leq m \leq \ell$

$$L_z \psi(r, \theta, \phi) = m \hbar \psi(r, \theta, \phi)$$

Isso mostra que os valores possíveis de L^2 e de L_z são discretos (**quantizados**), evidenciando a quantização do momento angular e da componente z do momento angular.

$$|\mathbf{L}| = \hbar \sqrt{l(l+1)}$$

$$l = 0, 1, 2, 3, \dots$$

$$m_l = -l, -l+1, \dots, 0, 1, \dots, l-1, l$$

$$L_z = m_l \hbar \quad m = 0, \pm 1, \pm 2, \pm 3, \dots$$

Assim, as funções são definidas por:

$$R_{n\ell} = e^{-\rho/n} \frac{F_{n\ell}(\rho)}{\rho} \quad \text{com } \rho = \frac{r}{a}.$$

São as funções denominadas polinômios de Laguerre

Alguns exemplos de funções **radiais** normalizadas:

$n = 1$	$\ell = 0$	$R_{10} = \frac{2}{\sqrt{a^3}} e^{-\rho}$
$n = 2$	$\ell = 0$	$R_{20} = \frac{1}{\sqrt{2a^3}} \left(1 - \frac{\rho}{2} \right) e^{-\rho/2}$
	$\ell = 1$	$R_{21} = \frac{1}{2\sqrt{6a^3}} \rho e^{-\rho/2}$
$n = 3$	$\ell = 0$	$R_{30} = \frac{2}{3\sqrt{3a^3}} \left(1 - \frac{2}{3}\rho + \frac{2}{27}\rho^2 \right) e^{-\rho/3}$
	$\ell = 1$	$R_{31} = \frac{8}{27\sqrt{6a^3}} \rho \left(1 - \frac{\rho}{6} \right) e^{-\rho/3}$
	$\ell = 2$	$R_{32} = \frac{4}{81\sqrt{30a^3}} \rho^2 e^{-\rho/3}$

O problema 3D requer, como esperado, o aparecimento de 3 números quânticos. Como vimos, ℓ e m estão associados à parte angular da função de onda e para cada valor de $E_{n\ell}$ existem $2\ell + 1$ funções de onda diferentes, uma para cada possível valor de m . Dessa forma, a degenerescência do nível n , será:

$$d_n = n^2$$

degenerescência

$$\psi_{nlm}(r, \theta, \phi, t) = R_{nl}(r)Y_{lm}(\theta, \phi)e^{-E_{nl}t/\hbar}$$

$$n = 1, l = 0, m = 0 \quad \psi_{100} = R_{10}Y_{00}e^{-E_1t/\hbar} \quad \text{estado não degenerado}$$

$$\left. \begin{array}{l} n = 2, l = 0, m = 0 \\ l = 1; m = 1, 0, -1 \end{array} \right\} \begin{array}{l} \psi_{200} = R_{20}Y_{00}e^{-E_2t/\hbar} \\ \psi_{21m} = R_{21}Y_{1m}e^{-E_2t/\hbar} \end{array} \quad \text{4 estados degenerados}$$

Os valores permitidos para os números quânticos n, ℓ, m associados as variáveis r, θ e ϕ são:

$$\begin{array}{ll} n = 1, 2, 3, \dots & n > 0 \\ l = 0, 1, 2, 3, \dots, n-1 & l < n \\ m_l = -l, -l+1, \dots, 0, 1, \dots, l-1, l & |m_l| \leq l \end{array}$$

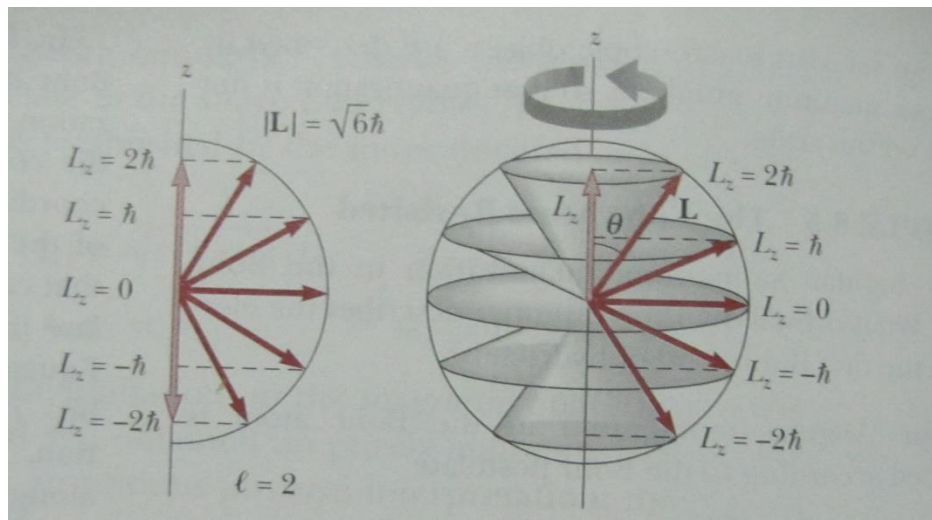
Para qualquer potencial $V = V(r)$ o momento angular é **quantizado**, e seus módulos permitidos (autovalores) são dados por:

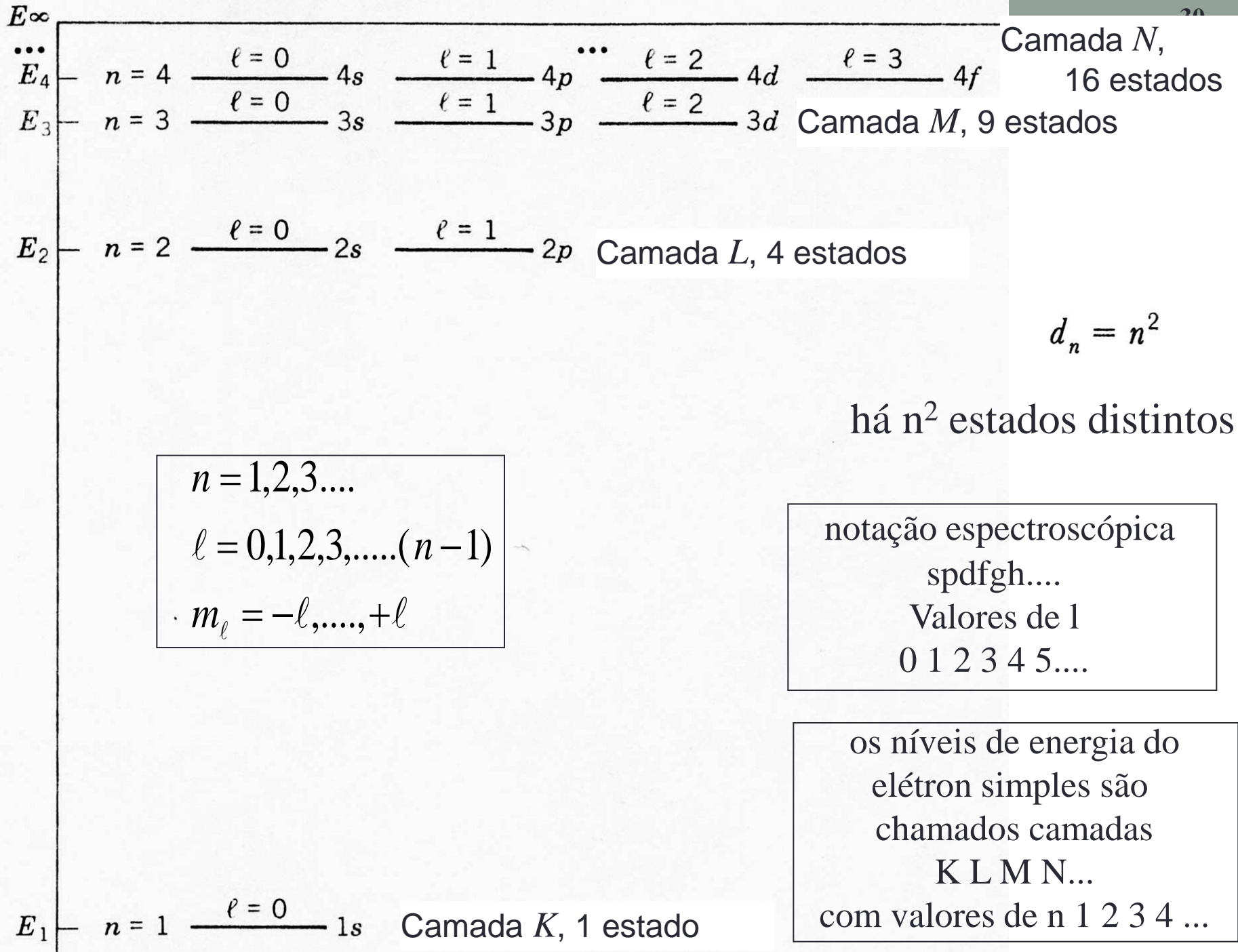
$$|\mathbf{L}| = \hbar \sqrt{l(l+1)} \quad l = 0, 1, 2, 3, \dots, \quad , l \text{ é chamado número quântico momento angular}$$

$$\mathbf{L}_z = m_l \hbar$$

A componente z do momento angular também é **quantizada**,

$$m_l = 0, \pm 1, \pm 2, \pm 3, \dots, \pm l$$



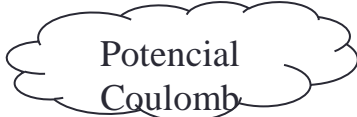


Átomos com 1 elétron

Parte radial da eq. de Schrödinger, com autovalor de energia E :

$$-\frac{\hbar^2}{2\mu r^2} \frac{d}{dr} r^2 \frac{dR}{dr} + \left[V(r) + \frac{\hbar^2}{2\mu r^2} \ell(\ell + 1) \right] R = ER$$

Vamos inicialmente nos concentrar nos casos em que $\ell = m = 0$, o que nos restringe aos harmônicos esféricos Y_{00} (que são constantes): **(isto seria o estado fundamental $n=1$)**

$$-\frac{\hbar^2}{2\mu} \left[\frac{2}{r} \left(\frac{dR}{dr} \right) + \frac{d^2 R}{dr^2} \right] - \frac{Ze^2}{4\pi\epsilon_0} R = ER$$


Como a solução deve tender a 0, quando r tende a infinito, podemos tentar uma função que decaia exponencialmente:

$$-\frac{\hbar^2}{2\mu} \left(R'' + \frac{2}{r} R' \right) - \frac{Ze^2}{4\pi\epsilon_0 r} R = ER. \quad R(r) = Ae^{-r/a}$$

$$R(r) = Ae^{-r/a}$$

$$R' = -\frac{A}{a}e^{-r/a} = -\frac{R}{a}$$

$$R'' = \frac{A}{a^2}e^{-r/a} = \frac{R}{a^2}$$

Temos, então, que:

Substituindo na equação:

$$-\frac{\hbar^2}{2\mu} \left(\frac{1}{a^2} - \frac{2}{ar} \right) - \frac{Ze^2}{4\pi\epsilon_0 r} = E$$

$$\left(\frac{1}{a^2} + \frac{2\mu E}{\hbar^2} \right) + \left(\frac{2\mu Ze^2}{4\pi\epsilon_0 \hbar^2} - \frac{2}{a} \right) \frac{1}{r} = 0$$

Essa igualdade vale para qualquer r ,

$$\left(\frac{2\mu Ze^2}{4\pi\epsilon_0 \hbar^2} - \frac{2}{a} \right) = 0 \quad \text{O que fornece um valor para o parâmetro } a: \quad a = \frac{4\pi\epsilon_0 \hbar^2}{Ze^2 \mu}$$

autovalores da energia:

$$\left(\frac{1}{a^2} + \frac{2\mu E}{\hbar^2} \right) = 0 \implies E = -\frac{\hbar^2}{2\mu a^2}$$

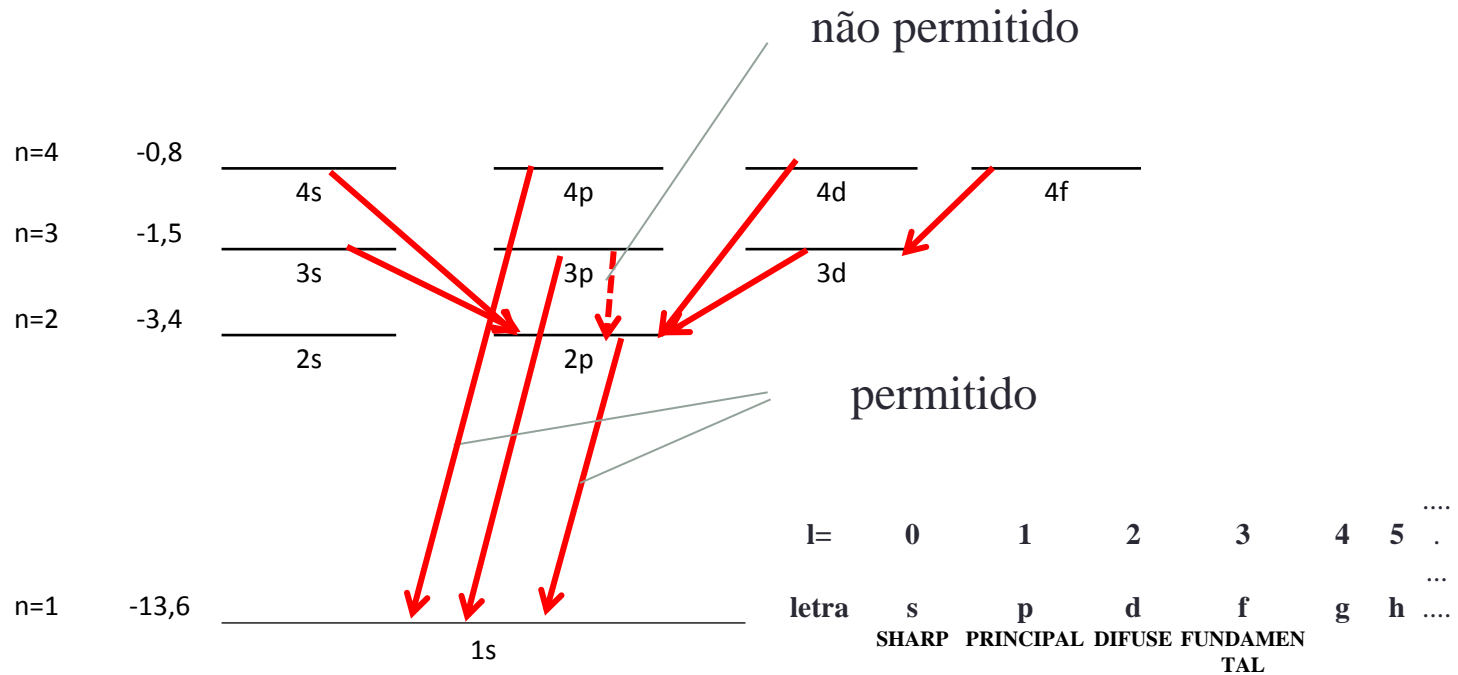
Que é o raio de Bohr:

Coincide com a expressão de Bohr para o estado fundamental do H.

$$E = -\frac{\hbar^2}{2\mu} \frac{(Ze^2 \mu)^2}{(4\pi\epsilon_0 \hbar^2)^2} = -\frac{Z^2 e^4 \mu}{(4\pi\epsilon_0)^2 2\hbar^2}$$

$$E_n = -\frac{Z^2 e^4 \mu}{(4\pi\epsilon_0)^2 2\hbar^2 n^2}$$

Diagrama de níveis de energia do H



Cada transição representa a mudança de energia do átomo e deve ser compensada por emissão (ou absorção) e energia de outra forma.

Para conservar o momento angular total (átomo+ fóton) em uma transição óptica, o momento angular do elétron de um estado inicial e um estado final deve diferenciar de uma unidade isto é:

$$|\ell_f - \ell_i| = 1$$

$$\Delta \ell = \pm 1$$

A distância média entre o elétron e o núcleo é dado pelo valor esperado:

$$\langle r \rangle = \int \psi_{nlm}^* r \psi_{nlm} d\tau$$

Para o estado estacionário:

$$\langle r \rangle = an^2 \left\{ 1 + \frac{1}{2} \left[1 - \frac{\ell(\ell+1)}{n^2} \right] \right\},$$

Para o estado fundamental:

$$n = 1, l = 0$$

$$\langle r \rangle = a \left\{ 1 + \frac{1}{2} \right\}$$

$$\langle r \rangle = \frac{3}{2} a$$

$$\left\langle \frac{1}{r} \right\rangle = \frac{1}{an^2},$$

$$\left\langle \frac{1}{r^2} \right\rangle = \frac{2}{a^2 n^3 (2\ell + 1)},$$

$$\left\langle \frac{1}{r^3} \right\rangle = \frac{2}{a^3 n^3 \ell (\ell + 1) (2\ell + 1)}.$$

A função de onda para o estado fundamental do átomo de H

fundamental do átomo de H

$$\psi_{100} = \frac{e^{-r/a}}{\sqrt{\pi a^3}} e^{-iE_1^{Bohr}t/\hbar}$$

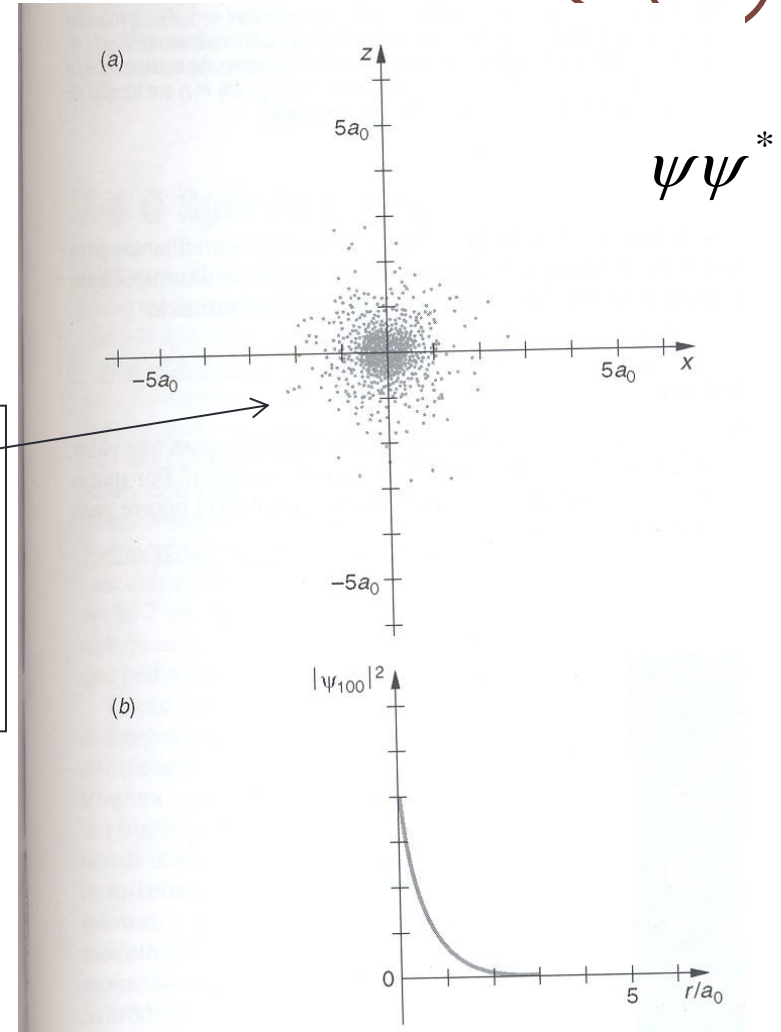
Não depende do ângulo, todos $l=0$ (estado s) são esfericamente simétricos

Um elétron descrito pela função de onda acima é encontrado com probabilidade por unidade de volume dada por:

$$|\psi_{100}|^2 = \frac{e^{-2r/a}}{\pi a^3}$$

A "posição" do e- agora é diluída no espaço não é mais bem determinada

- DENSIDADE DE PROBABILIDADE
- a probabilidade tem simetria esférica
- é máxima na origem
- diminui exponencialmente com r



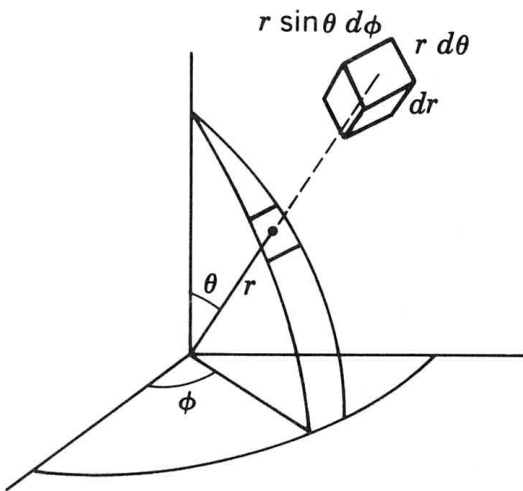
Observáveis

Determinação de probabilidades: medidas de $|\Psi(r, \theta, \phi, t)|^2$ num $d\Omega$ em torno de uma certa orientação θ , em um número grande de sistemas. Mas o elemento de volume em coordenadas esféricas é:

$$d\tau = r^2 dr \sin \theta d\theta d\phi = r^2 dr d\Omega,$$

Pela condição de normalização, temos que:

$$1 = \int_{\text{espaço}} |\Psi|^2 d\tau$$



Portanto:

$$\begin{aligned} 1 &= \int_{\text{espaço}} |\Psi_{n\ell m}|^2 d\tau \\ &= \int_0^\infty r^2 dr \int_{\text{all } \Omega} d\Omega |R_{n\ell}(r)|^2 |Y_{\ell m}(\theta, \phi)|^2. \end{aligned}$$

E pela propriedade de normalização dos harmônicos esféricos

$$1 = \int_{\text{all } \Omega} |Y_{\ell m}(\theta, \phi)|^2 d\Omega \quad \text{com } d\Omega = \sin \theta d\theta d\phi$$

temos que:

$$1 = \int_0^\infty |R_{n\ell}(r)|^2 r^2 dr$$

O que nos permite introduzir uma densidade de probabilidade radial, dada por:

$$P_{n\ell}(r) = r^2 |R_{n\ell}(r)|^2$$

sujeita à condição de normalização:

$$1 = \int_0^\infty P_{n\ell}(r) dr$$

$P_{n\ell}$ é interpretada como a probabilidade da partícula ser encontrada em uma casca esférica de espessura dr a uma distância r da origem. Notem o aparecimento do fator r^2 na definição de $P_{n\ell}$, que faz com que a densidade de probabilidade radial tenda a zero quando r o faz. Isso se deve ao fato de que o volume da casca esférica tende a zero com r^2 .

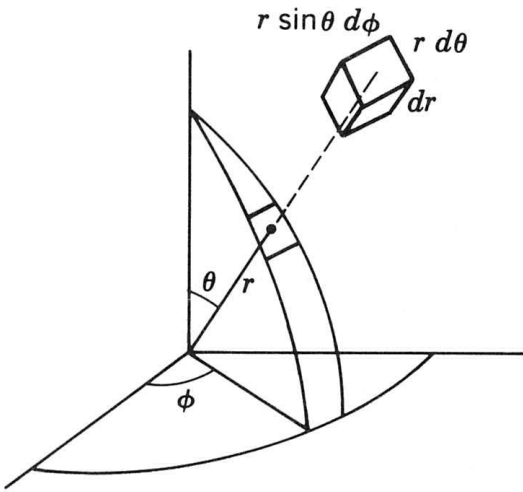
$P_{n\ell}$ nos dá a densidade de probabilidade radial para qualquer estado, para o estado s de simetria esférica é o mesmo que $4\pi r^2 |\psi^2|$

Já que

$$\psi(r) = \left(\frac{1}{\sqrt{4\pi}} \right) R(r)$$

Observáveis

A probabilidade de encontrar um elétron em uma casca esférica entre r e $r+dr$ $\longrightarrow P(r) dr =$ densidade de probabilidade radial

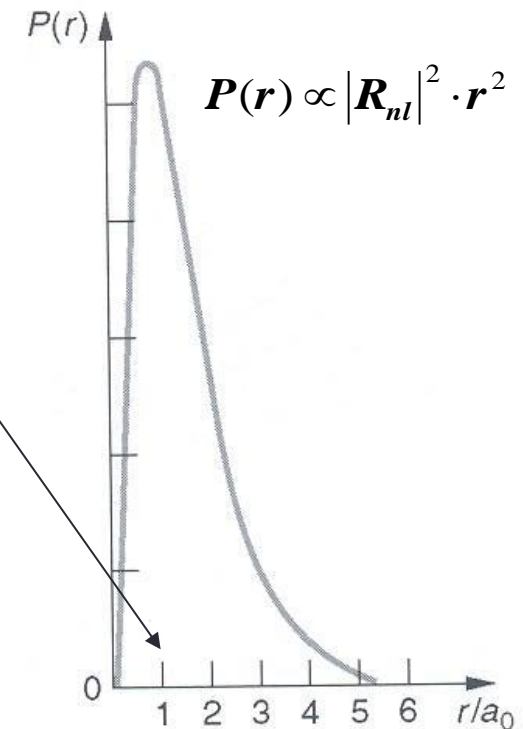


$$P(r)dr = R_{nl}^* \cdot R_{nl} r^2 dr$$

$$P(r)dr = C_{nl}^2 \cdot e^{-2r/a} r^2 dr$$

a distância mais provável é igual ao raio de Bohr $= a = a_0$

Notem o aparecimento do fator r^2 na definição de $P(r)$, que faz com que a densidade de probabilidade radial tenda a zero quando r o faz. Isso se deve ao fato de que o volume da casca esférica tende a zero com r^2 .



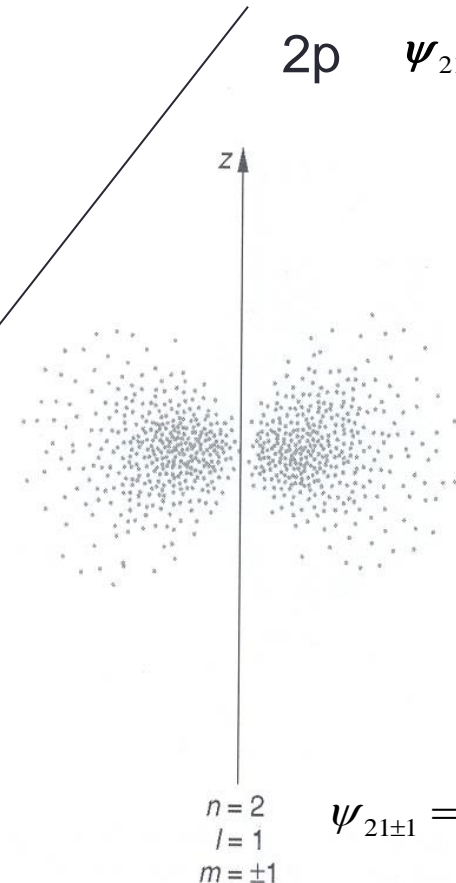
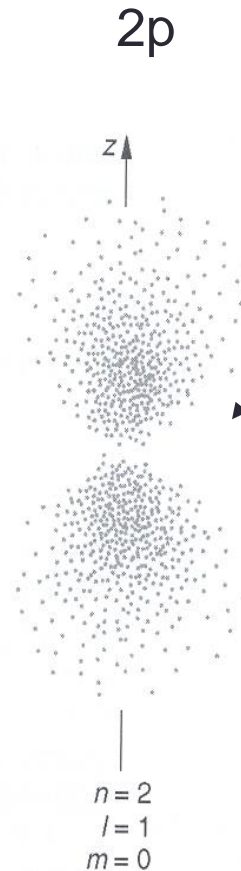
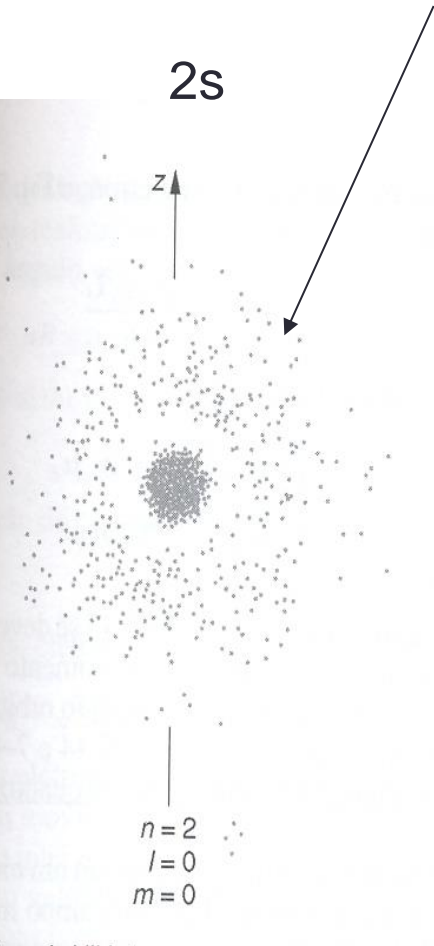
Densidades de probabilidade

Distribuições angulares da densidade de carga do elétron dependem do valor de l

$$\psi^* \psi$$

Apresentam simetria esférica $l = 0$

Dependem de θ ($\cos^2\theta$)
 $l = 1, m=0$



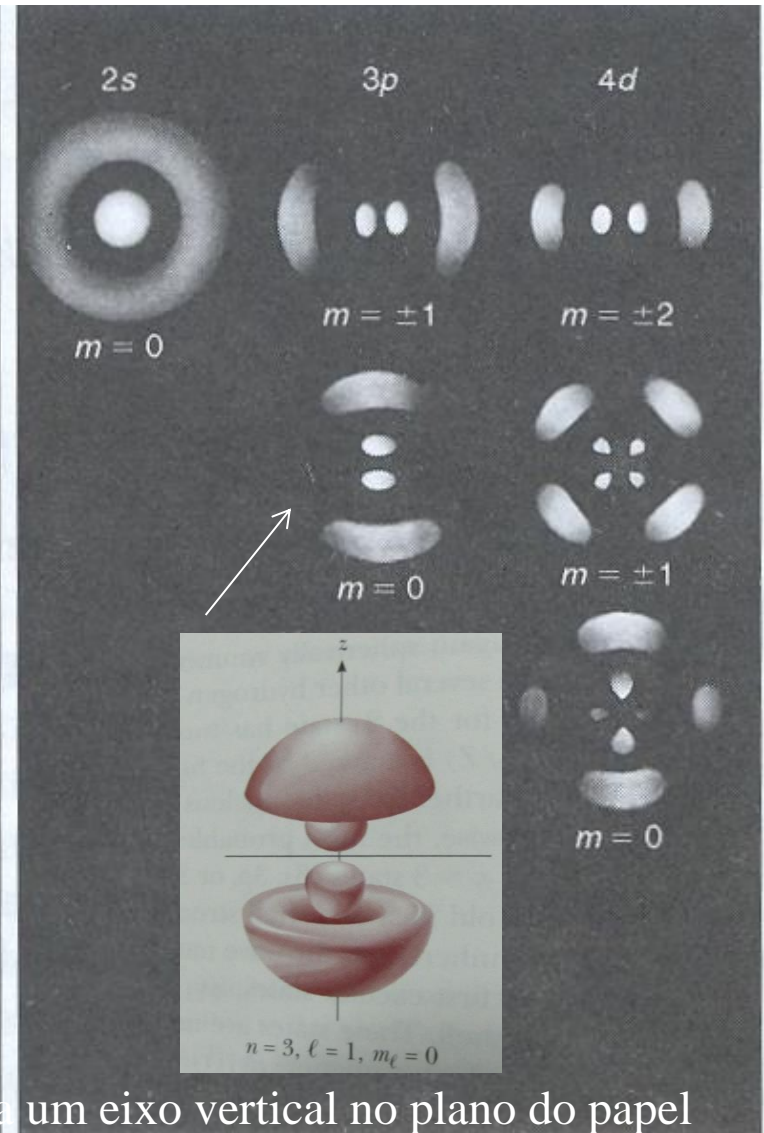
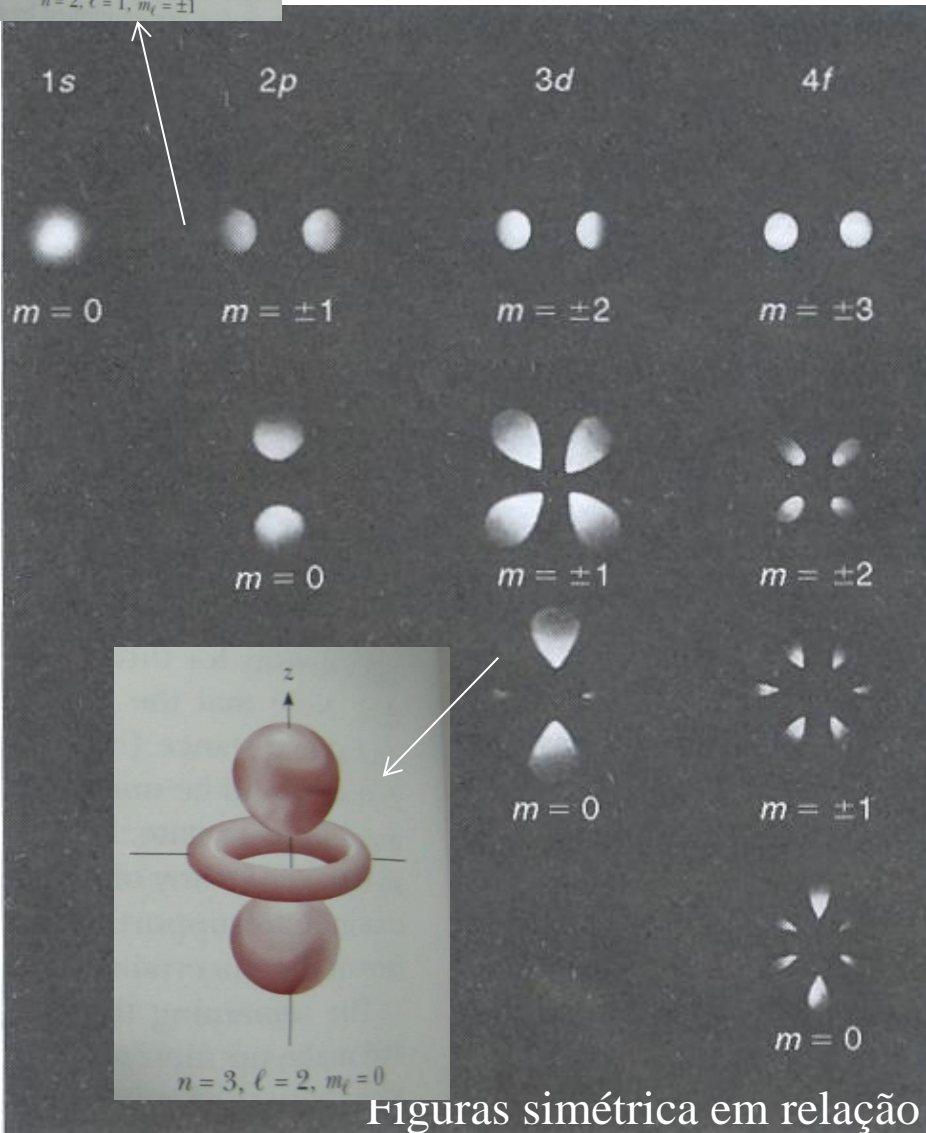
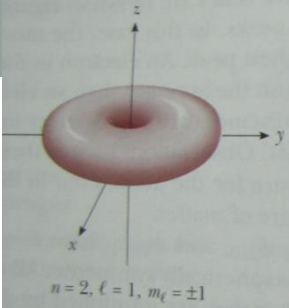
$$\psi_{210} = C_{210} \frac{r}{2a} e^{-r/2a} \cdot \cos\theta \cdot e^{-iE_1^{Bohr}t/\hbar}$$

Dependem de θ ($\sin^2\theta$) quando $l = 1, m=1$ ou $m = -1$

$$\psi_{21\pm 1} = C_{21\pm 1} \frac{r}{a} e^{-r/2a} \cdot \sin\theta \cdot e^{\pm i\phi} e^{-iE_1^{Bohr}t/\hbar}$$

Representação da densidade de probabilidade

$$|\psi_{nlm}|^2$$



Figuras simétrica em relação a um eixo vertical no plano do papel